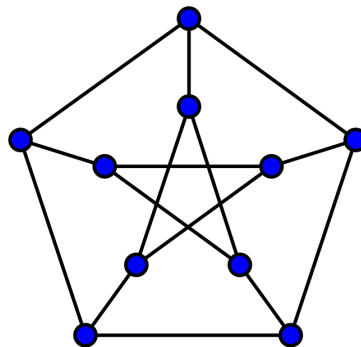
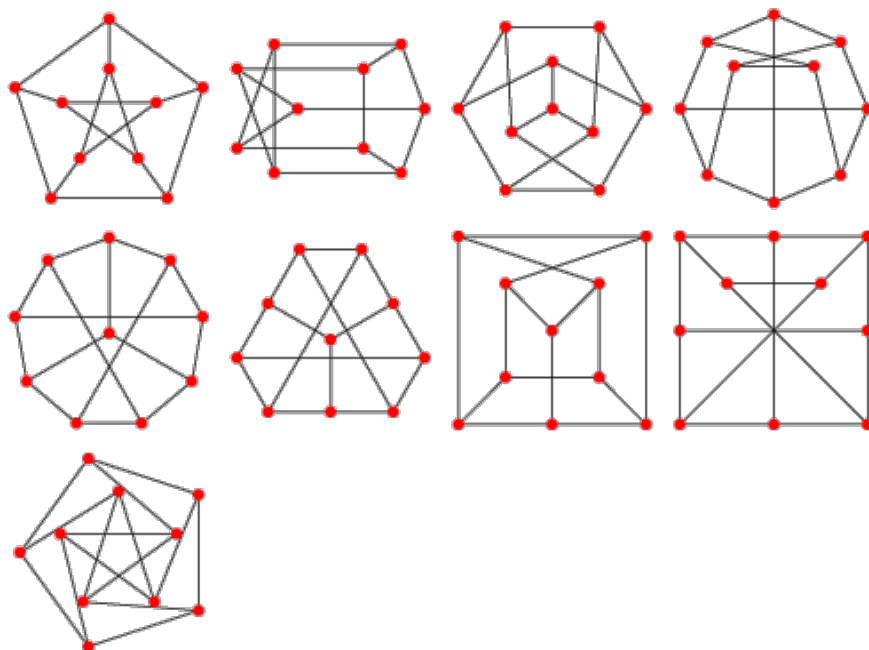


# O Grafo de Petersen

Artur Magalhães R. Santos, 10297734  
Introdução à Teoria dos Grafos - MAC0320



Grafo de Petersen<sup>1</sup>



Configurações do Grafo de Petersen <sup>2</sup>

---

<sup>1</sup>Petersen Graph, Wikimedia

<sup>2</sup>Petersen Graph, Wolfram MathWorld

# Sumário

<b>1</b>	<b>Introdução</b>	<b>3</b>
<b>2</b>	<b>Propriedades básicas</b>	<b>3</b>
2.1	O Grafo de Petersen . . . . .	3
2.2	Características básicas . . . . .	3
<b>3</b>	<b>Petersen e Euler</b>	<b>4</b>
3.1	Conceitos básicos . . . . .	4
3.2	Caracterização . . . . .	4
<b>4</b>	<b>Circuito e caminhos hamiltonianos</b>	<b>5</b>
4.1	Conceitos básicos . . . . .	5
4.2	Caracterização . . . . .	6
<b>5</b>	<b>Emparelhamentos em Petersen</b>	<b>7</b>
5.1	Emparelhamento . . . . .	7
5.1.1	Conceitos básicos . . . . .	7
5.1.2	Caracterizações e teoremas . . . . .	8
5.2	Cobertura . . . . .	9
<b>6</b>	<b>Coloração</b>	<b>11</b>
6.1	Coloração de arestas . . . . .	11
6.1.1	Conceitos básicos . . . . .	11
6.1.2	Delimitação inferior . . . . .	11
6.2	Coloração de vértices . . . . .	14
6.2.1	Delimitações superiores . . . . .	14
<b>7</b>	<b>Petersen e Conexidade</b>	<b>15</b>
7.1	Conceitos básicos . . . . .	15
7.2	Caracterização . . . . .	16
<b>8</b>	<b>Petersen e grafos planares</b>	<b>18</b>
8.1	Conceitos básicos . . . . .	18
8.2	Fórmula de Euler e seus resultados . . . . .	20
8.3	Caracterizações de grafos planares . . . . .	21
8.3.1	Kuratowski . . . . .	22
<b>9</b>	<b>Conclusão</b>	<b>24</b>

# 1 Introdução

Neste trabalho, serão apresentando diversos fatos e características relacionadas ao Grafo de Petersen . Os estudos se baseiam nas notas de aula de MAC0320 (Introdução à Teoria dos Grafos), carinhosamente chamada de Grafinhos. O intuito é agregar em um trabalho pontos interessantes estudados ao longo do semestre da disciplina, também mostrando aspectos do Grafo de Petersen e como se relacionam.

O trabalho se inicia com propriedades básicas, se pautando nos primeiros capítulos estudados, trazendo terminologias necessárias e como se aplicam ao Grafo de Petersen . Depois, seguindo a sequência dos capítulos, tratamos de grafos eulerianos, circuitos e caminhos hamiltonianos, emparelhamentos, coloração (de arestas e vértices), conexidade e planaridade. Ou seja, abordando os temas de Introdução à Teoria dos Grafos como um todo.

## 2 Propriedades básicas

### 2.1 O Grafo de Petersen

O Grafo de Petersen, nomeado em homenagem a Julius Petersen, um matemático dinamarquês, é um grafo muito estudado em Teoria dos Grafos. Por suas diversas características, que servem de exemplo ou contraexemplo para diferentes problemas, ele se tornou famoso.

Um grafo  $G$  é um par ordenado  $(V, A)$ , onde os elementos de  $V$  são os vértices e  $A$  são as arestas. O nosso estudo tratará de um grafo  $G$  específico, sendo  $G$  o Grafo de Petersen.

### 2.2 Características básicas

O Grafo de Petersen  $G$  é um grafo simples e conexo. Possui **ordem 10** (ou seja, 10 vértices) e **15 arestas**. Além disso, seu tamanho, definido pela soma do número de vértices com o número de arestas, é 25.

Denotamos o **grau de um vértice** por  $g(v)$ . No Grafo de Petersen , todo vértice  $v$  tem  $g(v) = 3$ . Portanto, o Grafo de Petersen é **3-regular** (todos os seus vértices têm o mesmo grau). Na figura 1, podemos observar o Grafo de Petersen e seu complementar  $\bar{G}$ , um grafo 6-regular.

Denotamos o **diâmetro** por  $diam(G)$ , a maior distância entre dois vértices  $u$  e  $v$ , e o **cintura** por  $cint(G)$ , o comprimento de um menor circuito de  $G$ . Para o Grafo de Petersen, temos  $diam(G) = 2$  e  $cint(G) = 5$ . Veja a figura 2.

Outras propriedades e características do Grafo de Petersen serão vistas adiante.

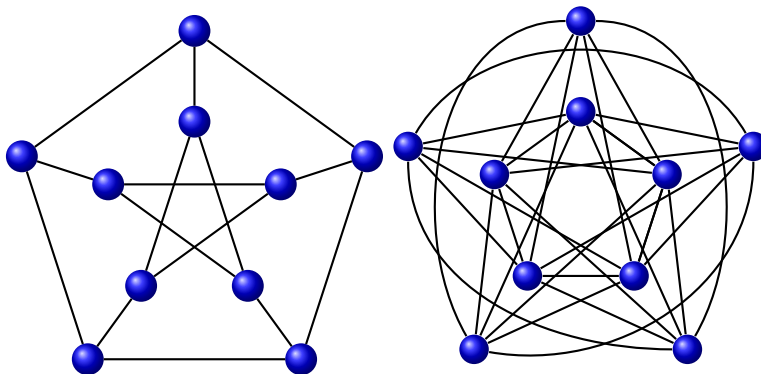


Figure 1: Grafo de Petersen e seu complementar

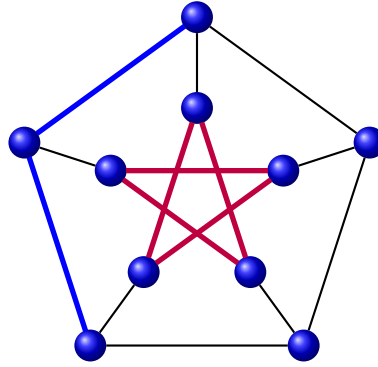


Figure 2: Representação da cintura e o diâmetro do Grafo de Petersen , em azul e roxo, respectivamente

Dois fatos básicos extremamente importantes sobre grafos em geral, seguem:

#### Proposição 2.1: Soma dos graus dos vértices de um grafo $G$

Para todo grafo  $G$ , temos que  $\sum_{v \in V(G)} g(v) = 2|A(G)|$ .

**Prova** No somatório, cada aresta  $a = \{u, v\}$  é contada duas vezes, quando consideramos  $g(u)$  e quando consideramos  $g(v)$ . Se a aresta  $a$  é um laço, por definição contribui com 2 unidades. Logo, o somatório é  $2|A(G)|$   $\square$

#### Corolário 2.1: Vértices de grau ímpar

Todo grafo tem um número par de vértices de grau ímpar.

**Prova** Seja  $G$  um grafo. Considere  $V_1 = \{v \in V(G) : g(v) \text{ é ímpar}\}$  e  $V_2 = \{v \in V(G) : g(v) \text{ é par}\}$ . Pela Proposição 2.1, temos que  $\sum_{v \in V_1} g(v) + \sum_{u \in V_2} g(u) = 2|A(G)|$ . Sabendo que  $\sum_{u \in V_2} g(u)$  é par, segue que  $\sum_{v \in V_1} g(v)$  é par. Portanto, é necessário que  $|V_1|$  seja par.  $\square$

## 3 Petersen e Euler

### 3.1 Conceitos básicos

Leonard Euler, o famoso matemático suíço, também foi um grande contribuidor para a Teoria dos Grafos, mesmo que indiretamente, já que em sua época o termo "grafo" ainda não era utilizado.

Chamamos de **trilha euleriana** uma trilha que passa por todos os vértices de um grafo. E um grafo é dito **euleriano** quando possui uma trilha euleriana fechada. Lembrando: **uma trilha** é um passeio sem arestas repetidas.

### 3.2 Caracterização

Uma caracterização importante de grafos eulerianos é dada pelo Teorema:

#### Teorema 3.1: Caracterização de grafos eulerianos

Um grafo é euleriano se e somente se cada um de seus vértices tem grau par.

Podemos, portanto, perceber que Petersen não é um grafo euleriano, já que seus vértices possuem grau ímpar. Entretanto, ele possui trilhas eulerianas. Veja a figura 3.

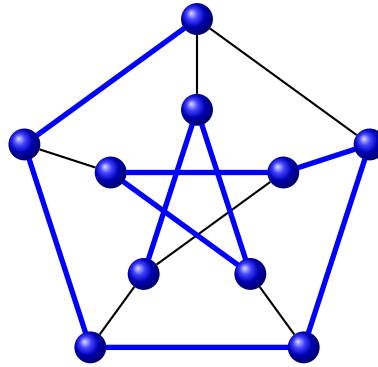


Figure 3: Representação de uma trilha euleriana no Grafo de Petersen

Vale notar que apesar do Grafo de Petersen não ser euleriano, ao adicionarmos um vértice e o ligarmos a todos os demais vértices, temos um grafo euleriano. Veja a figura 4.

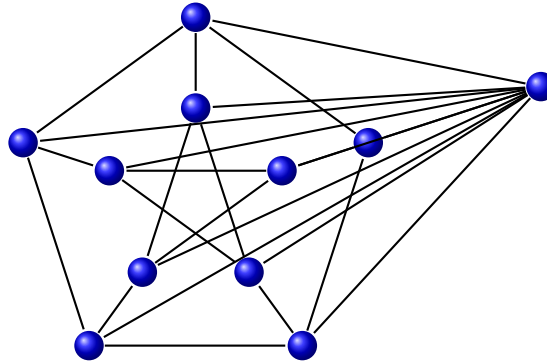


Figure 4: Grafo de Petersen modificado: adição de um novo vértice ligado a todos os demais.

Pelo fato de Petersen ser 3-regular, a adição do novo vértice, ligado a todos os demais, "gera" um novo grafo 4-regular, que pela caracterização 3.1, faz com que esse novo grafo seja euleriano.

## 4 Circuito e caminhos hamiltonianos

### 4.1 Conceitos básicos

Os grafos, circuitos e caminhos denominados hamiltonianos levam esse nome em homenagem ao matemático, físico e astrônomo irlandês William Rowan Hamilton.

Um **circuito hamiltoniano** é um circuito que contém **todos os vértices** de um grafo. Um grafo que contém um circuito hamiltoniano é chamado **grafo hamiltoniano**. Um outro conceito relacionado é o de **grafo hipo-hamiltoniano**. Sua definição:

#### Definição 4.1: Grafo hipo-hamiltoniano

Um grafo  $G$  é denominado hipo-hamiltoniano se  $G$  não é hamiltoniano, mas  $G - v$  é hamiltoniano.

## 4.2 Caracterização

O problema de decidir se existe e encontrar um circuito hamiltoniano em um grafo  $G$  são ambos problemas difíceis. Decidir se um tal circuito existe é NP-completo. Mesmo assim, ainda conseguimos determinar, em certas situações, se um grafo contém ou não um circuito hamiltoniano.

Existem condições necessárias e suficientes para grafos hamiltonianos. Uma condição necessária seria:

### Definição 4.2: Condição necessária

Se  $G$  é hamiltoniano, então para todo conjunto não-vazio  $S \subset V(G)$ ,

$$c(G - S) \leq |S|$$

Vale ressaltar que a **condição é necessária, mas não suficiente**. Um contraexemplo é o Grafo de Petersen. Para qualquer conjunto  $S \subset V(G)$  que tomarmos, teremos a condição  $c(G - S) \leq |S|$  satisfeita. Entretanto, o Grafo de Petersen não é hamiltoniano. Curiosamente, o Grafo de Petersen é o menor hipo-hamiltoniano que existe. Veja a figura 5.

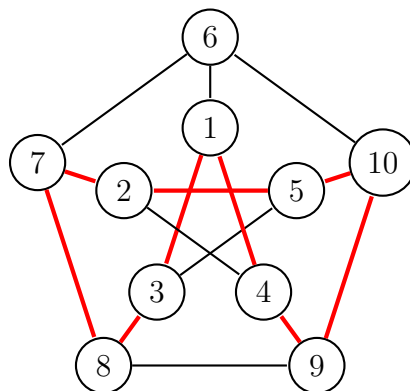


Figure 5: Removendo o vértice 6, por exemplo, temos o circuito hamiltoniano, em vermelho

Os teoremas relacionados a grafos hamiltonianos, em geral, tratam sobre o grau dos vértices de um grafo  $G$ , como nos teoremas de Dirac, Ore e Bondy & Chvátal enunciados a seguir:

### Teorema 4.1: Dirac, 1952

Se  $G$  é um grafo simples de ordem  $n \geq 3$  e  $g(v) \geq n/2$  para todo  $v \in V(G)$ , então  $G$  é hamiltoniano.

### Teorema 4.2: Ore, 1960

Se  $G$  é um grafo simples de ordem  $n \geq 3$  tal que  $g(u) + g(v) \geq n$  para todo par  $u, v$  de vértices não-adjacentes, então  $G$  é hamiltoniano.

### Teorema 4.3: Bondy & Chvátal, 1976

Se  $G$  é um grafo simples de ordem  $n$  e sejam  $u, v$  vértices não-adjacentes em  $G$  tais que  $g(u) + g(v) \geq n$ . Então  $G$  é hamiltoniano se e só se  $G + uv$  é hamiltoniano.

Um conceito que vale mencionar, especialmente no estudo de grafos hamiltonianos, é o de um **fecho** de um grafo. O **fecho**, denotado por  $\mathcal{F}(G)$ , é o grafo que se obtém de  $G$  acrescentando-se arestas ligando pares de vértices não-adjacentes cuja soma dos graus é pelo menos  $|V(G)|$ , até que não exista mais nenhum tal par.

Dessa definição de fecho, com o Teorema 4.3, seguem dois resultados:

#### Corolário 4.1

Um grafo hamiltoniano  $G$  é hamiltoniano se e só se o fecho  $\mathcal{F}(G)$  é hamiltoniano.

#### Corolário 4.2

Se  $\mathcal{F}(G)$  é completo, então  $G$  é hamiltoniano.

## 5 Emparelhamentos em Petersen

### 5.1 Emparelhamento

#### 5.1.1 Conceitos básicos

Um emparelhamento nada mais é do que um conjunto de arestas duas a duas não adjacentes. Mais formalmente, um **emparelhamento**  $E$  é definido como um conjunto de arestas tal que todo vértice do grafo é extremo de no máximo uma aresta de  $E$ .

Dentro do estudo de emparelhamentos, existem nomenclaturas necessárias para seu estudo:

- **Cobertura/cobre**: dizemos que um emparelhamento cobre  $X \subseteq V(G)$  se em cada vértice  $v \in X$  incide uma aresta de  $E$ . De maneira análoga, dizemos que  $X$  é coberto por  $E$ .
- **Emparelhamento perfeito**: dizemos que um emparelhamento  $E$  é perfeito se cobre  $V(G)$ .
- **Vértice livre**: um vértice  $v \in V(G)$  é dito livre em relação a um emparelhamento  $E$  se  $v$  não é coberto por  $E$ .

Além dessas terminologias, é importante ressaltar outros conceitos: a diferença entre emparelhamento máximo e maximal, caminho  $E$ -alternante e caminho aumentador.

#### Definição 5.1: Emparelhamento máximo e maximal

Um emparelhamento  $E$  em um grafo é dito **maximal** se não é possível aumentá-lo, ou seja, não existe um emparelhamento  $E'$  que contém  $E$ .

Um emparelhamento  $E$  em um grafo é dito **máximo** quando possui a maior cardinalidade dentre todos os outros emparelhamentos de  $G$  ( $|E|$  é máximo).

#### Definição 5.2: Caminho $E$ -alternante

Seja  $E$  um emparelhamento em um grafo  $G$ . Um caminho  $E$ -alternante em  $G$  é um caminho cujas arestas estão, alternadamente, em  $E$  e  $A(G) \setminus E$ .

#### Definição 5.3: Caminho aumentador

Seja  $E$  um emparelhamento em um grafo  $G$ . Um **caminho aumentador** em  $G$  é um caminho  $E$ -alternante com os extremos livres (em  $E$ ).

### 5.1.2 Caracterizações e teoremas

Após essas definições, ficam questões relativas ao nosso grafo de interesse, o Grafo de Petersen. Ele possui um emparelhamento perfeito? A resposta é **sim**, e ela pode ser obtida de diferentes maneiras.

A primeira delas, e a mais simples, é observar o Grafo de Petersen, e perceber que podemos obter um emparelhamento perfeito.

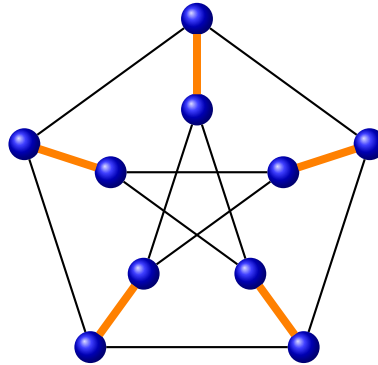


Figure 6: Grafo de Petersen e um emparelhamento perfeito

Outra possível forma, mais formal, é obter esse resultado através do Teorema de Petersen. Mas antes, é necessário enunciar o Teorema de Tutte, que nós dá uma condição necessária e suficiente para que um grafo  $G$  tenha um emparelhamento perfeito.

#### Teorema 5.1: Teorema de Tutte

Seja  $G$  um grafo conexo.  $G$  tem um emparelhamento perfeito se e só se  $c_i(G - S) \leq |S|$ , para todo  $S \subseteq V(G)$ , sendo  $c_i(G - S)$  o número de componentes ímpares de  $G - S$ .

Agora, segue o enunciado do Teorema de Petersen:



### Teorema 5.2: Teorema de Petersen

Seja  $G$  um grafo 3-regular, sem pontes. Então,  $G$  tem um emparelhamento perfeito.

**Prova** Iremos mostrar que  $G$  satisfaz o Teorema de Tutte (5.1), e portanto, tem um emparelhamento perfeito.

Seja  $S \subseteq V(G)$  e sejam  $C_1, \dots, C_k$  os componentes ímpares de  $G - S$ . Para cada  $C_i$ , os possíveis graus dos vértices são 1, 2 e 3, já que  $G$  é 3-regular. Seja  $W$  um dos componentes ímpares. Seja  $W_i = \{v \in W : g_W(v) = i\}, i = 1, 2, 3$ . Seja  $\delta(W)$  o conjunto de arestas com extremo em  $W$  e  $\bar{W}$ .

Como  $W$  é um componente ímpar, temos que  $|W_1| + |W_2| + |W_3|$  é ímpar. Além disso, sabemos que todo grafo tem um número par de vértices de grau ímpar, logo,  $|W_1| + |W_3|$  é par. Portanto, temos que  $|W_2|$  é ímpar. Agora, iremos tratar dois casos:  $W_1 = \emptyset$  e  $W_1 \neq \emptyset$ .

1. **Caso**  $W_1 = \emptyset$ : Então,  $|W_2| \geq 3$ , já que se  $|W_2| = 1$ , teríamos uma ponte entre  $W$  e  $\bar{W}$ , contrariando a hipótese. Dado que  $|W_2|$  é ímpar, então  $|W_2| \geq 3$  e  $\delta(W) \geq 3$ .
2. **Caso**  $W_1 \neq \emptyset$ : Então, como  $|W_2| \geq 1$ ,  $\delta(W) \geq 3$ .

Da análise acima, podemos concluir que cada componente ímpar  $C_i$  contribui com pelo menos 3 arestas saindo de  $C_i$ , arestas estas que chegam em  $S$ , logo,  $|\delta(S)| \geq 3k$ , sendo  $k$  o número de componentes ímpares. Também, por  $g_G(v) = 3 \forall v \in G$ , temos que  $|\delta(S)| \leq 3|S|$ . Segue que:

$$k \leq |S|$$

Por fim, está satisfeita a condição de Tutte e  $G$  tem um emparelhamento perfeito.  $\square$

Portanto, podemos obter que o Grafo de Petersen possui um emparelhamento perfeito, pelo Teorema 5.2. Outro Teorema importante que trata de emparelhamentos é o **Teorema de Hall**, que aqui será apenas enunciado. Sua importância vem do fato de que fornece uma base para o estudo de emparelhamentos, em especial de grafos bipartidos, além, de certa forma, caracterizar um emparelhamento por meio de um conjunto de vértices e o conjunto de seus adjacentes.

### Teorema 5.3: Teorema de Hall

Seja  $G$  um grafo  $(X, Y)$ -bipartido. Então  $G$  tem um emparelhamento que cobre  $X$  se e só se  $|Adj(S)| \geq |S|$  para todo  $S \subseteq X$ .

## 5.2 Cobertura

Um conceito relacionado a emparelhamento, é a cobertura. A **cobertura** de um grafo  $G$  é um conjunto  $K \subseteq V(G)$  tal que toda aresta de  $G$  tem pelo menos um dos extremos em  $K$ . Assim,  $K$  é uma cobertura das arestas de  $G$  por vértices.

Exemplificando com o Grafo de Petersen, veja a figura 7.

Pelo figura 7, podemos observar que para cobrirmos todas as arestas do Grafo de Petersen, foi necessário um conjunto de 6 vértices. Uma pergunta natural é justamente saber o tamanho

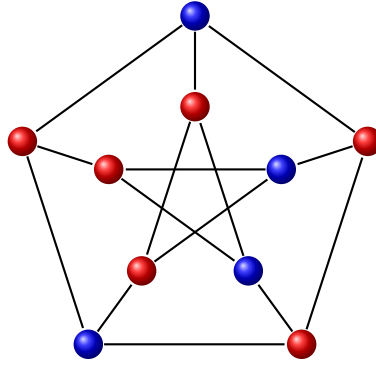


Figure 7: Grafo de Petersen e uma cobertura, de tamanho 6, em vermelho

do menor conjunto de vértices tal que seja possível cobrir um grafo  $G$ . Ou seja, saber sua **cobertura mínima**.

O problema de encontrar uma cobertura mínima em um grafo  $G$  qualquer é NP-Difícil, mas quando  $G$  é bipartido, podemos encontrá-la em tempo polinomial, devido a resultados que serão mencionados a seguir.

Um resultado imediato da relação entre um emparelhamento  $E$  em  $G$  e uma cobertura  $K$  em  $G$  é que:

**Definição 5.4: Desigualdade entre emparelhamentos e coberturas**

Seja  $E$  um emparelhamento e  $K$  uma cobertura em um grafo  $G$ . Temos que  $|E| \leq |K|$ .

**Prova** Pelo menos um dos extremos das arestas de  $E$  deve pertencer a  $K$ .

Mas afinal, qual a relação entre emparelhamentos e coberturas? Além da desigualdade mostrada acima, na Definição 5.4, existe uma relação mais forte entre esses dois conceitos, especialmente em grafos bipartidos. Dois termos relevantes dentro desse estudo são:

- $cob(G)$ : a **cardinalidade de uma cobertura mínima** em um grafo  $G$ .
- $emp(G)$ : a **cardinalidade de um emparelhamento máximo** em um grafo  $G$ .

Um Teorema importante que trata da relação entre emparelhamentos e coberturas, em grafos bipartidos, é o Teorema de König (1931):

**Teorema 5.4: König, 1931**

Seja  $G$  um grafo  $(X, Y)$ -bipartido. Então a cardinalidade de um emparelhamento máximo em  $G$  é igual à cardinalidade de uma cobertura mínima em  $G$ .

O Teorema é bastante forte, e é interessante que por meio dele, conseguimos provar o 5.3. Além disso, foi o primeiro Teorema *min-max* que vimos em Introdução à Teoria dos Grafos.

Em relação ao Grafo de Petersen, vimos que a cardinalidade de uma cobertura mínima é 6, ao passo que a cardinalidade de um emparelhamento máximo é 5, e portanto, temos que para o Grafo de Petersen  $cob(G) > emp(G)$ .

## 6 Coloração

Como veremos adiante, a coloração de grafos pode ser relativa tanto a arestas (6.1) quanto a vértices (6.2). Diferentes propriedades são obtidas dentre esses dois modos de coloração, e iremos analisar e verificar como o Grafo de Petersen se comporta com cada uma delas.

### 6.1 Coloração de arestas

#### 6.1.1 Conceitos básicos

Uma coloração de arestas de um grafo é atribuir cores diferentes para arestas adjacentes:

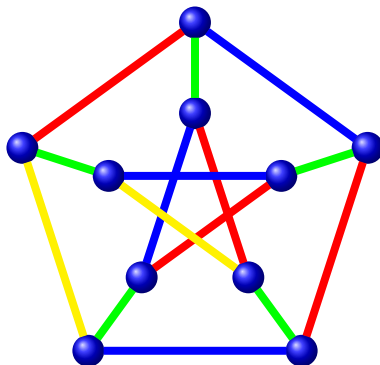


Figure 8: Grafo de Petersen e uma coloração de arestas

Podemos notar que **uma coloração de arestas de um grafo  $G$  é uma partição de  $A(G)$  em emparelhamentos**. E se  $E_1, \dots, E_k$  são emparelhamentos que definem uma partição de  $A(G)$ , dizemos que **cada  $E_i$  é uma cor** e que  **$k$  é o número de cores**. Assim, dizemos que  $G$  é  **$k$ -aresta-colorível** ou tem uma  **$k$ -aresta-coloração**.

O que é interessante dentro de coloração de arestas (também em coloração de vértices) é saber o menor número possível de cores para uma coloração válida, uma coloração de arestas mínima. Para um grafo qualquer, o problema é NP-difícil (para grafos bipartidos é possível de encontrá-las em tempo polinomial).

Na terminologia de coloração, o **índice cromático** de um grafo  $G$ , denotado  $\chi'(G)$ , é o menor  $k$  tal que  $G$  é  $k$ -aresta-colorível. Assim, se  $\chi'(G) = k$ , dizemos que  $G$  é  $k$ -aresta-cromático.

#### 6.1.2 Delimitação inferior

Um delimitação imediata para o índice cromático é:

##### Teorema 6.1: Delimitação inferior para coloração de arestas

Em todo grafo  $G$ , temos que  $\chi'(G) \geq \Delta(G)$ , sendo  $\Delta(G)$  o maior grau de um vértice em  $G$ .

Para o Grafo de Petersen, o que podemos dizer sobre seu  $\chi'(G)$ ? Será que  $\chi'(G) = 3$ , já que é 3-regular? A resposta é não, na verdade,  $\chi'(G) = 4$ , como veremos adiante. Veja também a figura 8.

Em um primeiro momento, podemos tentar colorir o Grafo de Petersen , e chegar a essa conclusão. Mas para além dessa forma, existem diferentes argumentos que evidenciam esse fato. Antes de enunciá-los, é necessário introduzir o conceito de **k-fator**:

**Definição 6.1:  $k$ -fator**

Seja  $k$  um inteiro positivo. Um subgrafo gerador  $k$ -regular de um grafo  $G$  é denominado um  $k$ -fator de  $G$ .

Agora, podemos enunciá-los:

**Teorema 6.2:  $\chi'(G)$  no Grafo de Petersen**

O Grafo de Petersen têm  $\chi'(G) = 4$ .

**Prova 1** O Grafo de Petersen pode ser definido da seguinte maneira: um circuito interno, um circuito externo e seus raios. Veja a figura 9. Suponha que para o Grafo de Petersen ,  $\chi'(G) = 3$ . Como  $G$  é 3-regular, as 3 cores tocam todos os vértices.

Tome uma aresta  $a$  do circuito externo, e sejam seus extremos os vértices  $u$  e  $v$ . Suponha que  $a$  esteja colorida com a cor  $C_1$ . Os vértices  $u$  e  $v$  são adjacentes aos vértices  $x$  e  $y$  no circuito interno, respectivamente. Portanto, as arestas  $ux$  e  $vy$  não podem ser coloridas com  $C_1$ , e então, alguma das duas arestas de  $x$  deve estar colorida com  $C_1$  (o mesmo para  $y$ ).

Já que  $x$  não é adjacente a  $y$ , a cor  $C_1$  aparece pelo menos 2 arestas do circuito interno. Como o circuito interno - de comprimento 5 - não é 2-aresta-colorível, as 3 cores devem aparecer nele. Entretanto, como cada uma das 3 cores deve aparecer 2 vezes no circuito interno, temos uma contradição.<sup>a</sup>  $\square$

**Prova 2** Temos que  $|A(G)| = 15$ . Caso  $\chi'(G) = 3$ , então  $G$  têm 3 emparelhamentos perfeitos disjuntos. Se  $E$  é um emparelhamento perfeito de  $G$ , ele possui duas arestas do circuito externo, e portanto, duas do circuito interno e uma do raio. Veja a figura 9.

Nesse caso,  $G - E$  é um 2-fator (dois circuitos de comprimento 5), que portanto, não contém 2 emparelhamentos perfeitos. Por fim, está concluída a prova.<sup>b</sup>  $\square$

<sup>a</sup>Prova em *The Petersen graph is not 3-edge-colorable - a new proof*, Naserasr e Skrekovski, 2003

<sup>b</sup>Prova em *The Petersen graph is not 1-factorable: postscript to 'The Petersen graph is not 3-edge-colorable—a new proof'*, Volkmann, 2004

Vimos que é possível obter esse resultado de diferentes maneiras, mais uma vez evidenciando a beleza do Grafo de Petersen , e como pode ser utilizado como contraexemplo ou base de diversas provas.

Agora, iremos prosseguir com uma afirmação interessante sobre o Grafo de Petersen , em que:  $\chi'(G) = 4$  se e só se  $G$  não é hamiltoniano. A ida da prova poderia ser estendida para: se  $G$  é um grafo 3-regular,  $\chi'(G) = 4$ , então  $G$  não é hamiltoniano.

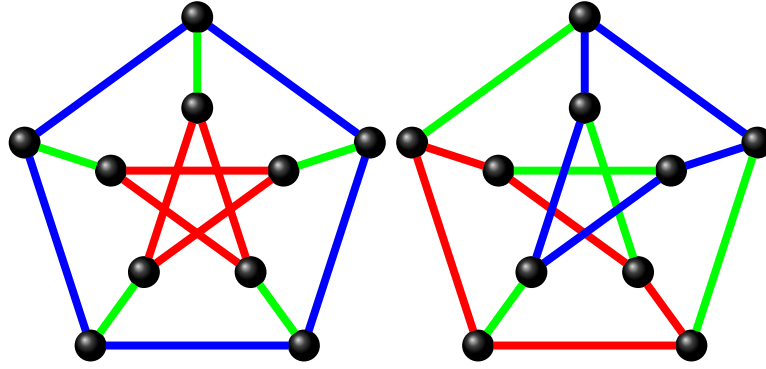


Figure 9: Grafo de Petersen: **a esquerda:** circuito externo, circuito interno, raios. **a direita:** emparelhamento  $E$  (verde) e  $G - E$  (vermelho e azul)

### Teorema 6.3

Seja  $G$  um grafo 3-regular. Se  $\chi'(G) = 4$ , então  $G$  não é hamiltoniano.

**Prova** Suponha que  $G$  possua um circuito hamiltoniano  $C$ . Sabemos que  $G$  é 3-regular, e como o número de vértices ímpares de um grafo é sempre par,  $|V(G)|$  é par. Portanto, o circuito hamiltoniano  $C$  tem comprimento par e podemos bicolorir  $C$ , com digamos, as cores  $E_1$  e  $E_2$ .

Nesse caso,  $G - A(C)$  é um emparelhamento perfeito, digamos  $E_3$ . Mas então  $\chi'(G) = 3$ , uma contradição.  $\square$

Podemos fazer ainda outra afirmação, talvez até mais interessante, e também aplicável ao Grafo de Petersen, de forma quase idêntica ao Teorema 6.3:

### Teorema 6.4

Seja  $G$  um grafo 3-regular. Se  $G$  é hamiltoniano, então  $\chi'(G) = 3$ .

**Prova**  $G$  é hamiltoniano, portanto, possui um circuito hamiltoniano  $C$ . Sabemos que  $G$  é 3-regular, e como o número de vértices ímpares de um grafo é sempre par,  $|V(G)|$  é par. Portanto, o circuito hamiltoniano  $C$  tem comprimento par e podemos bicolorir  $C$ , com digamos, as cores  $E_1$  e  $E_2$ .

Nesse caso,  $G - A(C)$  é um emparelhamento perfeito, digamos  $E_3$ , e podemos colorí-lo com uma cor, portanto,  $\chi'(G) = 3$ .  $\square$

A título de conhecimento, vale comentar que dentro do contexto de coloração de arestas, os teoremas que ganham maior destaque geralmente envolvem limites (*bounds*) sobre  $\chi'(G)$ . Dentre eles, temos o Teorema 6.5 e o Teorema 6.6.

### Teorema 6.5: Vizing, 1964

Se  $G$  é um grafo simples, então  $\chi'(G) \leq \Delta(G) + 1$ .

### Teorema 6.6: Konig, 1916

Se  $G$  é um grafo bipartido, então  $\chi'(G) = \Delta(G)$ .

## 6.2 Coloração de vértices

Partimos então para coloração de vértices. De forma semelhante a coloração de arestas, iremos definir conceitos e termos necessários para esse tema. Além disso, observar como o Grafo de Petersen se relaciona com eles. Veja a figura 10.

Primeiro, é fundamental explicar o que de fato é coloração de vértices. Uma **coloração de vértices** de um grafo é uma **atribuição de cores a todos os seus vértices de modo que vértices adjacentes não recebam a mesma cor**. Mais formalmente, uma coloração de vértices de um grafo  $G$  é uma partição de  $V(G)$  em conjuntos independentes (ou estáveis).

Se  $\{X_1, X_2, \dots, X_k\}$  é uma partição de  $V(G)$  em conjuntos independentes, então dizemos que cada  $X_i$  é **uma cor** e  $k$  é **o número de cores**. Também, dizemos  $G$  tem uma  **$k$ -coloração** e similarmente, que  $G$  é  **$k$ -colorível**.

Uma pergunta natural que surge é: dado um grafo  $G$ , qual o número mínimo de cores para conseguirmos colorir  $G$ ? Ou seja, obter uma coloração mínima de um grafo. É interessante notar que apesar do problema surgir de uma pergunta simples (aparentemente fácil de se encontrar), obter uma coloração mínima de um grafo  $G$  é um problema NP-difícil. Assim como em coloração de arestas (6.1), para um grafo  $G$  arbitrário, procuramos encontrar delimitadores, superiores e inferiores, para sua coloração mínima.

O **número cromático** de um grafo  $G$ , denotado por  $\chi(G)$ , é o menor  $k$  tal que  $G$  é  $k$ -colorível. Se  $\chi(G) = k$ , então dizemos que  $G$  é  $k$ -cromático.

### 6.2.1 Delimitações superiores

Uma intuição razoável seria pensar se existe uma relação entre o grau máximo de um vértice de  $G$  e  $\chi(G)$ . Pela delimitações, iremos mostrar que de fato isso ocorre. Além disso, iremos verificar suas aplicações relacionadas ao Grafo de Petersen. Um primeiro teorema, que apesar de simples, é bastante forte, pois já oferece uma boa delimitação para a coloração mínima.

### Teorema 6.7

Para todo grafo simples  $G$ , temos que  $\chi(G) \leq \Delta(G) + 1$ .

É interessante notar que o Teorema 6.7 já é o melhor delimitante superior. Duas famílias especiais de grafos que tem  $\chi(G) = \Delta(G) + 1$  são a dos circuitos ímpares  $C_n$  e dos grafos completos  $K_n$ . Excluindo essas duas famílias, conseguimos um delimitador ainda melhor, pelo Teorema de Brooks.

### Teorema 6.8: Brooks, 1941

Se  $G$  é um grafo conexo que não é um circuito ímpar e nem um grafo completo, então  $\chi(G) \leq \Delta(G)$ .

Vale notar que uma possível prova para o Teorema 6.8 utiliza do conceito de árvore de busca em profundidade. Ou seja, ele se baseia na construção de uma árvore de busca em profundidade para realizar a prova, algo curioso e que demonstra a beleza do teorema.

Agora, iremos verificar a aplicação deste conceito no Grafo de Petersen . Para o Grafo de Petersen , temos que seu  $\chi(G) = 3$ , ou seja, no seu caso,  $\chi(G) = \Delta(G)$ . Veja a figura 10. Percebemos que o Grafo de Petersen é formado por dois circuito ímpares, o externo e o interno, e os raios (como vimos anteriormente), e portanto, o mínimo de cores para colorir o circuito externo são 3 cores. Feita a coloração do circuito externo, basta colorir o circuito interno com essas mesmas 3 cores, de forma que respeitem a coloração - vértices adjacentes recebem cores diferentes.

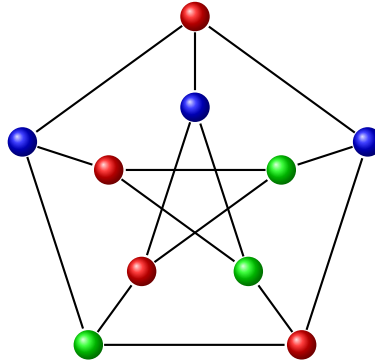


Figure 10: Grafo de Petersen e uma coloração mínima

## 7 Petersen e Conexidade

Neste capítulo trataremos sobre conexidade, relacionando esse conceito ao Grafo de Petersen . Assim como anteriormente, primeiramente iremos definir o que é conexidade, os parâmetros de interesse e teoremas importantes em seu estudo.

### 7.1 Conceitos básicos

Conexidade pode ser vista, informalmente, com o número de vértices (ou arestas) que é preciso remover para que um grafo  $G$  seja desconexo. O conceito é aplicado tanto a arestas quanto a vértices de um grafo.

Formalmente, seja  $G$  um grafo conexo **sem laços**, e  $S \subset V$  ou  $S \subset A$ . Se  $G - S$  é desconexo, dizemos que  $S$  separa  $G$ . Similarmente, se em  $G - S$  dois vértices distintos  $x$  e  $y$  pertencem a componentes distintos, dizemos que  $S$  separa  $x$  de  $y$ .

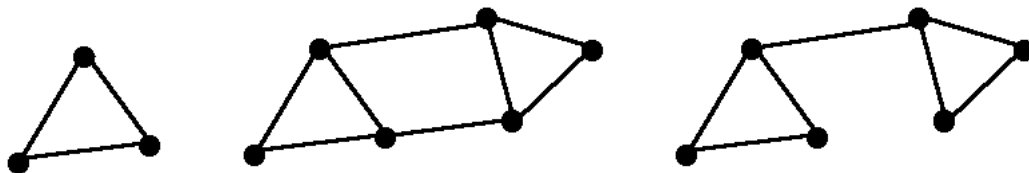


Figure 11: Exemplos de conexidade. Por exemplo, ao removermos duas arestas do grafo a esquerda, ele se torna desconexo. O grafo do meio também, já que removendo as duas arestas centrais (na figura) ele se torna desconexo. Já na imagem a direita, remover uma aresta ou um vértice, torna o grafo desconexo.

Tendo observado os exemplos e entendendo a intuição sobre conexidade, podemos agora definir a conexidade em relação a vértices e arestas, assim como os parâmetros para ambas.

**Conexidade para vértices** Para  $k \geq 2$ , dizemos que  $G$  é  $k$ -**conexo** se  $G$  é isomorfo a  $K_{k+1}$  ou  $G$  tem pelo menos  $k + 2$  vértices e não existe  $S \subset V$ ,  $|S| = k - 1$ , tal que  $S$  separa  $G$ . Ressaltando que um grafo  $G$  é **1-conexo** se e só se é conexo e não trivial.

**Conexidade para arestas** Para  $k \geq 2$ , dizemos que  $G$  é  $k$ -**aresta-conexo** se  $G$  tem pelo menos 2 vértices e não existe  $F \subset A$ ,  $|F| \leq k - 1$  tal que  $F$  separa  $G$ . Grafos que possuem aresta de corte são **1-aresta-conexo**.

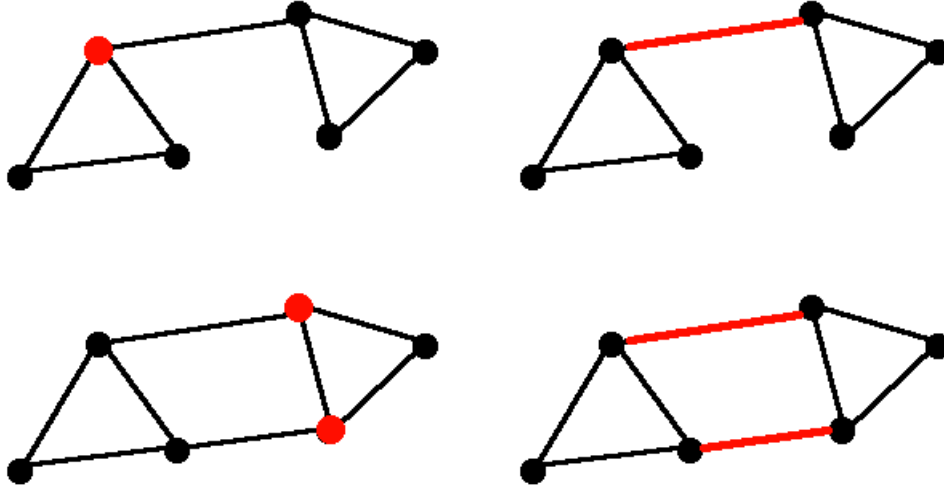


Figure 12: Exemplos de grafos  $k$ -**conexos** e  $k$ -**aresta-conexos**. Nos primeiros dois grafos, removendo o vértice ou aresta em vermelho, ele se torna desconexo, portanto, o grafo é **1-conexo** e também **1-aresta-conexo** (possui uma ponte). Os outros dois são **2-conexo** e **2-aresta-conexo**, pois removendo os dois vértices ou duas arestas em vermelho, ele se torna desconexo.

## 7.2 Caracterização

Assim como nos demais conceitos vistos, em conexidade temos dois principais parâmetros de interesse:

- $\kappa(G)$ : o maior valor de  $k$  para o qual  $G$  é  $k$ -conexo, a **conexidade** de  $G$ .
- $\kappa'(G)$ : o maior valor de  $k$  para o qual  $G$  é  $k$ -aresta-conexo, a **aresta-conexidade** de  $G$ .

É importante notar que apesar de terem ideias semelhantes, os dois parâmetros podem ser bem diferentes. Na imagem 13, podemos observar esse fato.

Uma desigualdade importante na análise de  $\kappa(G)$  e  $\kappa'(G)$  é:

**Proposição 7.1: Desigualdade entre  $\kappa(G)$  e  $\kappa'(G)$**

Se  $G$  é um grafo não trivial, então  $\kappa(G) \leq \kappa'(G) \leq \delta(G)$

Nela, vemos que de fato a aresta-conexidade é sempre maior ou igual a conexidade de um grafo, o que é intrigante.



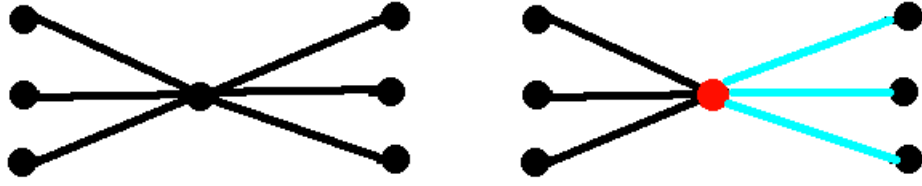


Figure 13: No grafo acima, basta remover 1 vértice para que seja desconexo ( $\kappa(G) = 1$ ), mas é preciso remover 3 arestas para que seja desconexo ( $\kappa'(G) = 3$ ).

Agora, iremos enunciar um teorema central no estudo de conexidade e um de seus corolários, e em seguida, mostrar como os conceitos apresentados se aplicam no Grafo de Petersen. O **Teorema de Menger** (1927), um resultado *min-max*, relaciona o número mínimo de vértices entre dois vértices de um grafo ao número máximo de caminhos independentes entre esses dois vértices.

Para facilitarmos, podemos dizer que um caminho  $P$  de  $x$  a  $y$  é um  $xy$ -caminho. E se  $P$  e  $Q$  são  $xy$ -caminhos, dizemos que  $P$  e  $Q$  são caminhos independentes se os únicos vértices em comum entre  $P$  e  $Q$  são  $x$  e  $y$ .

Segue, portanto, o Teorema de Menger:

#### Teorema 7.1: Menger, 1927

Seja  $G$  um grafo conexo, e  $s, t$  vértices distintos de  $G$ .

- (a) Se  $s$  e  $t$  não são adjacentes, então o número **mínimo** de vértices que separam  $s$  e  $t$  é igual ao número **máximo** de caminhos  $st$ -caminhos independentes.
- (b) O número **mínimo** de arestas que separam  $s$  e  $t$  é igual ao número **máximo** de caminhos  $st$ -caminhos arestas-disjuntos.

Devido ao Teorema 7.1, obtemos um resultado importante dentro de conexidade, que vincula os  $st$ -caminhos independentes a conexidade (ou aresta-conexidade) de um grafo, dando uma caracterização para grafos  $k$ -conexos ( $k$ -aresta-conexos).

#### Teorema 7.2: Caracterização de grafos $k$ -conexos e $k$ -aresta-conexos

- (a) Para  $k \geq 2$ , um grafo  $G$  é  **$k$ -conexo** se e só se  $G$  tem pelo menos 3 vértices e para quaisquer dois vértices  $s$  e  $t$  de  $G$ , existem  $k$   **$st$ -caminhos independentes**.
- (b) Para  $k \geq 2$ , um grafo  $G$  é  **$k$ -aresta-conexo** se e só se  $G$  tem pelo menos 3 vértices e para quaisquer dois vértices  $s$  e  $t$  de  $G$ , existem  $k$   **$st$ -caminhos arestas-disjuntos**.

Dentro de conexidade, o **Grafo de Petersen** é um grafo **3-conexo** e **3-aresta-conexo**. Para verificar, veja a figura 14.

Na figura 14, temos  $S \subset V(G)$  (em verde) que separa  $G$  e  $|S| = 3$ , portanto, seguindo nossa definição, o Grafo de Petersen é 3-conexo, já que é necessário remover ao menos 3 vértices para que o Grafo de Petersen fique desconexo.

De forma similar, temos que  $\delta(G) = 3$ , pois o Grafo de Petersen é 3-regular, então, pela Desigualdade 7.1 temos que é também 3-aresta-conexo, ou seja, é necessário remover ao menos

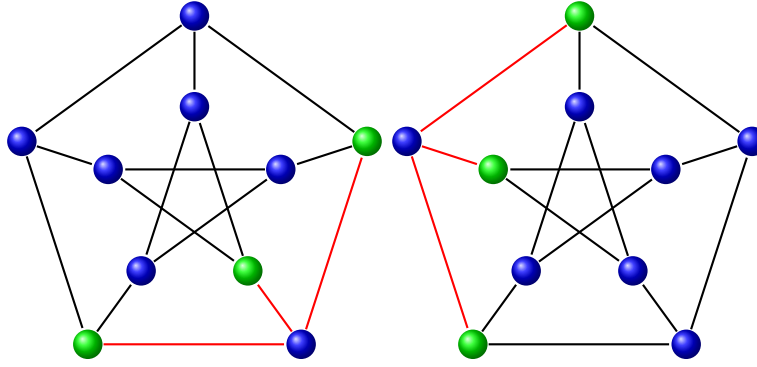


Figure 14: Grafo de Petersen e conexidade

3 arestas para que  $G$  fique desconexo. Na figura 14, temos  $F \subset A(G)$  (em vermelho), para exemplificar o fato.

## 8 Petersen e grafos planares

Neste último capítulo, iremos tratar sobre planaridade. Dentro de Teoria dos Grafos, essa área de estudo é bastante ampla, com resultados marcantes e notáveis, dado suas construções. Como nos capítulos anteriores, serão apresentados conceitos e termos necessários.

### 8.1 Conceitos básicos

Um grafo é **planar** se pode ser desenhado no plano, de modo que nenhuma de suas arestas se cruze ou tenha uma intersecção além das dos vértices em que incidem. Um desenho de um grafo  $G$  no plano é denominado **imersão plana**, **representação plana** ou **mapa** de  $G$ . Quando  $G$  é um grafo planar, dizemos que é **imersível no plano**. Também, dizemos que um **grafo plano** é um grafo planar que está imerso no plano.

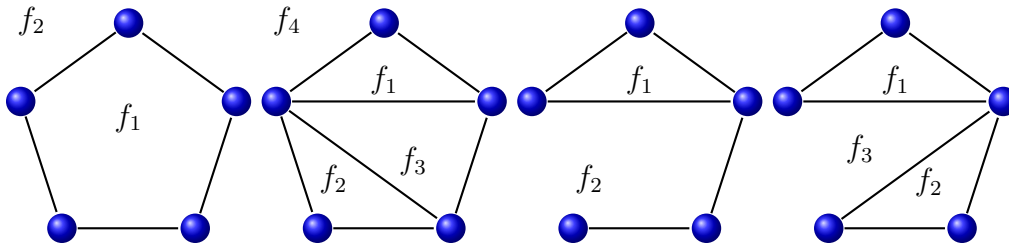


Figure 15: Grafos planos e suas faces  $f$

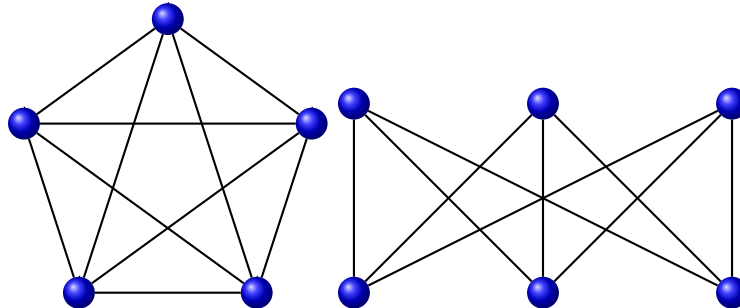


Figure 16: Grafos não planares

Outro conceito dentro do estudo de planaridade é de **faces** de um grafo. Uma **face** pode ser entendida como o contorno delimitado por arestas. Um outra analogia seria a seguinte: imagine um desenho de um grafo sobre a areia. As arestas e vértices seriam sulcos, e as faces as regiões (conexas) que não possuem sulcos. E além das faces internas, existe a **face externa**. Veja a imagem 15. O **conjunto das faces de um grafo**  $G$  é denotado por  $F(G)$

Ainda sobre faces, a **fronteira** de uma face é o **passeio fechado** formado pelas arestas e vértices no fecho da face. Um circuito de um grafo plano é denominado **circuito facial** se é fronteira de alguma face.

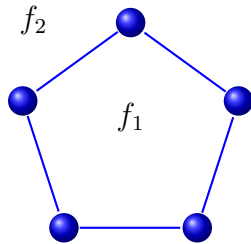


Figure 17: Grafo plano e a fronteira da face  $f_1$  (também a de  $f_2$ ), em azul.

O **grau de uma face**  $f$ , denotado por  $gr(f)$ , é o número de arestas incidentes a  $f$  (similarmente, o número de arestas na fronteira de  $f$ ), e arestas de corte são contadas 2 vezes.

Vale notar que se uma aresta  $\alpha$  é aresta de corte, então incide em apenas uma face  $f$ . Caso contrário, então incide em exatamente duas faces, e dizemos que  $\alpha$  separa essas faces.

Duas imersões são ditas **equivalentes** se a fronteira de uma face em uma imersão sempre corresponde à fronteira de uma face em outra

imersão. Também, um grafo tem uma **única imersão plana** quando todas as imersões são equivalentes. Note que ser equivalente não significa que o desenho da imersão é o mesmo. Veja a figura 18.

Um conceito também utilizado em grafos planares são as **curvas de Jordan**. Um **curva de Jordan** é uma curva contínua que não se auto-intersecta e cujo início coincide com o fim. Uma curva de Jordan  $J$  divide o plano em duas regiões: **interior de  $J$** , denotado  $int(J)$ , e **exterior de  $J$** , denotado  $ext(J)$ . Um resultado imediato da própria definição:

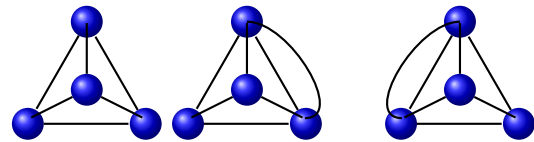


Figure 18: Imersões planas equivalentes do  $K_4$

### Definição 8.1: Jordan

Se  $J$  é uma curva de Jordan, então dado um ponto  $u$  do interior de  $J$  e um ponto  $v$  do exterior de  $J$ , qualquer curva ligando  $u$  a  $v$  intersecta  $J$  em algum ponto.

Outro conceito fundamental é o de grafo dual. Esse conceito só faz sentido quando temos um grafo plano  $G$ . O **grafo dual** de um grafo plano  $G$ , denotado por  $G^*$  é o grafo definido da seguinte maneira:

- (a) cada face  $f$  de  $G$  é um vértice de  $G^*$
- (b) para cada aresta  $a$  de  $G$  fazemos com que uma aresta  $a^*$  em  $G^*$  tal que  $a^*$  liga dois vértices  $f^*$  e  $h^*$  se e só se a face  $f$  e face  $h$  em  $G$  são separadas por  $a$ .

Dessa maneira, temos que:  $|V(G^*)| = |F(G)|$  e  $|A(G)| = |A(G^*)|$ . Também, é importante ressaltar que na construção do dual, se uma aresta  $a$  é uma aresta de corte em  $G$ , será um laço

em  $G^*$  e se  $a$  é um laço em  $G$ , será uma aresta de corte em  $G^*$ . Logo, temos que  $g(f^*) = gr(f)$  para toda face  $f \in F(G)$ .

Ainda relacionado ao grafo dual, temos dois fatos que valem ser pontuados: se  $G$  é um grafo plano, então  $G^*$  é planar; se  $G$  é um grafo plano, então  $G$  é isomorfo a  $(G^*)^*$ , o dual do dual, se e só se  $G$  é conexo.

Levando em conta o que foi dito sobre faces, temos um primeiro teorema, que relaciona a soma do grau das faces ao número de arestas em um grafo  $G$ .

### Teorema 8.1

Se  $G$  é um grafo plano, então  $\sum_{f \in F(G)} gr(f) = 2|A(G)|$

**Prova**

$$\sum_{f \in F(G)} gr(f) = \sum_{f^* \in F(G^*)} g(f^*) \stackrel{2.1}{=} 2|A(G^*)| = 2|A(G)|$$

## 8.2 Fórmula de Euler e seus resultados

Uma fórmula muito conhecida no contexto de grafos planares é a Fórmula de Euler (o nome Euler realmente aparece em muitos lugares!).

### Teorema 8.2: Euler, 1750

Se  $G$  é um grafo plano conexo, então  $|V(G)| - |A(G)| + |F(G)| = 2$

Em um primeiro momento, a fórmula pode parecer não dizer muito, mas na verdade, uma série de corolários relevantes seguem dela:

### Corolário 8.1

Todas as representações planas de um grafo planar conexo tem o mesmo número de faces.

**Prova** Pela Fórmula de Euler, o número de faces de uma representação plana de um grafo  $G$  depende somente de  $|V(G)|$  e  $|A(G)|$ .

Evidenciando a relação entre o número de arestas e vértices, temos mais 2 corolários:

### Corolário 8.2

Se  $G$  é um grafo planar simples com ordem  $n \geq 3$  e  $m$  arestas, então  $m \leq 3n - 6$ .

### Corolário 8.3

Se  $G$  é um grafo bipartido planar simples com ordem  $n \geq 3$  e  $m$  arestas, então  $m \leq 2n - 4$ .

Também, um resultado interessante, a ser usado posteriormente, em relação a planaridade no Grafo de Petersen, segue:

### Corolário 8.4

Se  $G$  é um grafo simples conexo planar, com cintura  $k \geq 3$ , então  $|A(G)| \leq k(|V(G)| - 2)/(k - 2)$ .

Mostrados esses diversos resultados, já podemos provar que  $K_5$  e  $K_{3,3}$  não são planares.

### Teorema 8.3: Planaridade em $K_5$

O grafo  $K_5$  não é planar.

**Prova 1** Suponha que  $K_5$  seja planar. Seja  $V(K_5) = \{v_1, \dots, v_5\}$ . O circuito  $C = (v_1, \dots, v_4)$  define uma curva de Jordan e como tal, divide o plano em duas regiões: interna e externa.

Então, temos que  $v_5 \in \text{int}(C)$  ou  $v_5 \in \text{ext}(C)$ . Suponha que  $v_5 \in \text{int}(C)$  (outro caso é análogo). Neste caso, as arestas  $v_1v_5, v_2v_5, v_3v_5$  e  $v_4v_5$  devem ser desenhadas em  $\text{int}(C)$ , e a aresta  $v_1v_3$  deve ser desenhada em  $\text{ext}(C)$ . Agora, considere o circuito  $C_1 = (v_1, v_5, v_3)$  como uma curva de Jordan. Nesse caso, se  $v_4$  ( $v_2$ ) está em  $\text{int}(C_1)$ , então  $v_2$  ( $v_4$ ) está no  $\text{ext}(C_1)$ , e a aresta  $v_2v_4$  viola a planaridade. Logo,  $K_5$  não é planar.  $\square$

**Prova 2** O grafo  $K_5$  tem  $n = |V(K_5)| = 5$  e  $m = |A(K_5)| = 10$ . Logo, pelo Corolário 8.2,  $10 \not\leq 9$ , e  $K_5$  não é planar.  $\square$

### Teorema 8.4: Planaridade em $K_{3,3}$

O grafo  $K_{3,3}$  não é planar.

**Prova 1** Suponha que  $K_{3,3}$  seja planar. Seja  $V(K_{3,3}) = \{v_1, \dots, v_6\}$ , vértices 1 a 3 pertencendo a uma partição, 4 a 6 a outra. O circuito  $C = (v_1, v_4, v_2, v_5)$  define uma curva de Jordan e como tal, divide o plano em duas regiões: interna e externa.

Então, temos que  $v_3 \in \text{int}(C)$  ou  $v_3 \in \text{ext}(C)$  (caso com  $v_6$  é análogo). Suponha que  $v_3 \in \text{int}(C)$  (outro caso é análogo). Neste caso, as arestas  $v_3v_4$  e  $v_3v_5$  devem ser desenhadas em  $\text{int}(C)$ . E se  $v_6$  está no  $\text{ext}(C)$ , a planaridade será violada.

Considere o circuito  $C_1 = (v_1, v_4, v_3, v_5)$  como uma curva de Jordan. Nesse caso, se  $v_6$  está em  $\text{int}(C_1)$ , então  $v_2$  está no  $\text{ext}(C_1)$ , e a aresta  $v_2v_6$  viola a planaridade.

Considere o circuito  $C_2 = (v_2, v_4, v_3, v_5)$  como uma curva de Jordan. Nesse caso, se  $v_6$  está em  $\text{int}(C_2)$ , então  $v_1$  está no  $\text{ext}(C_2)$ , e a aresta  $v_1v_6$  viola a planaridade.

Logo,  $K_{3,3}$  não é planar.  $\square$

**Prova 2** O grafo  $K_{3,3}$  tem  $n = |V(K_{3,3})| = 6$  e  $m = |A(K_{3,3})| = 9$ . Logo, pelo Corolário 8.3,  $9 \not\leq 8$ , e  $K_{3,3}$  não é planar.  $\square$

## 8.3 Caracterizações de grafos planares

Nessa subseção, veremos uma caracterização de grafos planares. Para tal, é necessário introduzir o conceito de duas operações: **subdivisão de um grafo**, **subdivisão de uma aresta** e **contração de uma aresta**. Após as definições, iremos mostrar um resultado muito conhecido em planaridade, o Teorema de Kuratowski, que caracteriza grafos planares. Por fim, iremos mostrar esse resultado aplicado ao Grafo de Petersen, e veremos se ele é (ou não) planar.

**Subdivisão** A operação de **subdivisão de uma aresta**  $\alpha = \{u, v\}$  de um grafo  $G$  consiste em remover  $\alpha$  e substituí-la por um caminho  $P = (u, x, v)$ , onde  $x$  é um novo vértice. Dado um grafo  $G$ , ao realizarmos operações de subdivisão, obtemos um novo grafo que é uma **subdivisão de  $G$** .

Um fato importante que deriva do conceito de subdivisão é que **Se  $G$  é não planar, então toda subdivisão de  $G$  é não planar**. Pelo o que já vimos, então qualquer subdivisão de  $K_5$  ou  $K_{3,3}$  é não planar. E portanto, se  $G$  é um grafo planar, ele não contém uma subdivisão do  $K_5$  e nem do  $K_{3,3}$ . Essa é uma condição **necessária** para um grafo planar, e Kuratowski mostrou que é suficiente, no Teorema a ser exibido.

**Contração** A operação de **contração de uma aresta**  $\alpha = \{u, v\}, u \neq v$ , de um grafo  $G$  consiste em remover  $\alpha$  de  $G$ , e identificar os vértices  $u$  e  $v$  em um único vértice  $z$ , e fazer com que as arestas incidentes em  $u$  e  $v$  sejam incidentes a  $z$ . Dentro do nosso contexto, arestas múltiplas são removidas.

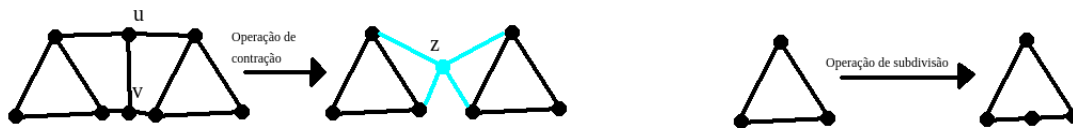


Figure 19: Exemplos das operações de contração, à esquerda, e subdivisão, à direita.

### 8.3.1 Kuratowski

Definidas as operações necessárias, iremos enunciar o Teorema de Kuratowski. Esse Teorema é extremamente valioso, pois oferece uma caracterização de grafos planares, baseado em apenas dois grafos não planares:  $K_5$  e  $K_{3,3}$ . Por ser simples, é um resultado belo, e até mesmo inusitado. Além disso, esse critério implica outros critérios de planaridade existentes, como o de MacLane (1937) e de Whitney (1932), entre outros.

Outro ponto importante, é que oferece uma caracterização útil para grafos não planares, funcionando como um **certificado de não planaridade**.

Segue seu enunciado:

#### Teorema 8.5: Kuratowski, 1930

Um grafo  $G$  é planar se e só se  $G$  não contém subdivisões nem do  $K_5$  e nem do  $K_{3,3}$ .

Agora, temos todos os recursos necessários para verificar se o Grafo de Petersen é planar.

### Teorema 8.6: Planaridade no Grafo de Petersen

O Grafo de Petersen não é planar.

**Prova 1** Pelo Corolário 8.4, temos que se  $|A(G)| \not\leq k(|V(G)| - 2)/(k - 2)$ , então  $G$  não é planar. Sendo  $G$  o Grafo de Petersen, temos  $n = |V(G)| = 10$  e  $m = |A(G)| = 15$ , e sua cintura  $cint(G) = 5$ . Então:

$$15 \not\leq \lceil 5 \cdot (8/3) \rceil = 14$$

E portanto, o Grafo de Petersen não é planar.  $\square$

**Prova 2** Considere a seguinte numeração do Grafo de Petersen, na figura 20. Observe que ao contrairmos as arestas pontilhadas, encontramos uma subdivisão do  $K_5$ , e pelo Teorema 8.5, o Grafo de Petersen não é planar.

Também, considere a figura 21. Desconsiderando as arestas pontilhadas, encontramos uma subdivisão do  $K_{3,3}$ , e pelo Teorema 8.4, o Grafo de Petersen não é planar.  $\square$

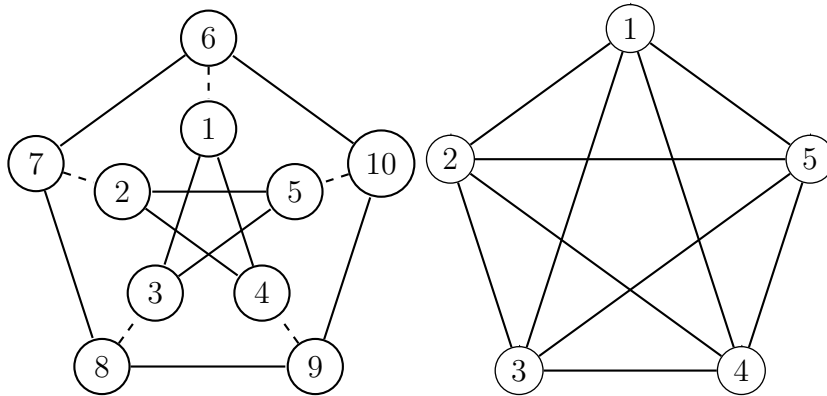


Figure 20: Contraindo as arestas pontilhadas no Grafo de Petersen, temos uma subdivisão do  $K_5$ .

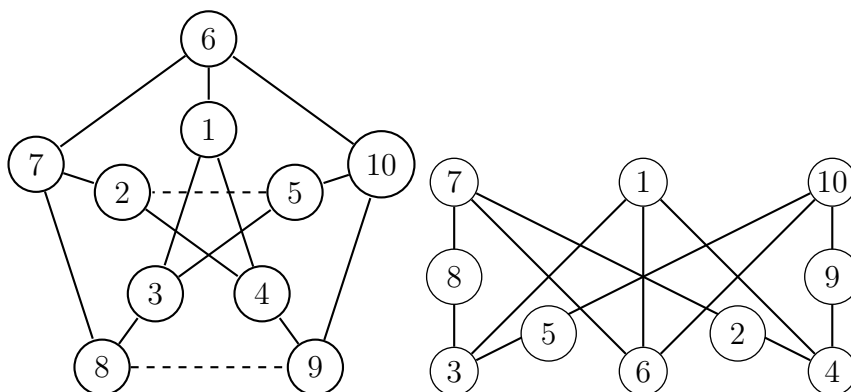


Figure 21: Grafo de Petersen é uma subdivisão do  $K_{3,3}$ , quando desconsideramos as arestas 2, 5 e 8, 9.

## 9 Conclusão

Ao longo deste trabalho, revisamos os conceitos vistos em Introdução à Teoria dos Grafos, partindo desde definições básicas a grafos planares. A ideia desse texto era justamente revisar esses conceitos, usando o Grafo de Petersen como uma "aplicação", mostrando como cada um dos conceitos se aplica a ele.

Os desenhos foram majoritariamente feitos em  $\text{\LaTeX}$ , utilizando a biblioteca *tikz*, usando *tikzpicture* e *tkz-berge*. Parte delas foi feita no *Paint Online*. Procurei ilustrar a maior parte do que foi exposto, já que acredito que o aspecto visual é bem importante para o aprendizado.

Outra ferramenta muito útil foi o *tcolorbox*, que permite definir caixas, e as usei nos teoremas, corolários etc.

O conteúdo é baseado nas notas de aula da Professora Yoshiko Wakabayashi, e segue a sequência do seu material. As provas que foram essencialmente ou feitas em sala ou como exercício, e foram explicitadas as mais pertinentes dentro do escopo desse texto.